



ИПМ им.М.В.Келдыша РАН • Электронная библиотека

Препринты ИПМ • Препринт № 11 за 2025 г.

ISSN 2071-2898 (Print)
ISSN 2071-2901 (Online)

Ю.Ф. Голубев

Трансформация орбиты
космического аппарата по
методу качелей

Статья доступна по лицензии
[Creative Commons Attribution 4.0 International](https://creativecommons.org/licenses/by/4.0/)



Рекомендуемая форма библиографической ссылки: Голубев Ю.Ф. Трансформация орбиты космического аппарата по методу качелей // Препринты ИПМ им. М.В.Келдыша. 2025. № 11. 32 с.
EDN: [NTZKDR](https://doi.org/10.26907/2071-2898.2025.11.32)
<https://library.keldysh.ru/preprint.asp?id=2025-11>

Ордена Ленина
ИНСТИТУТ ПРИКЛАДНОЙ МАТЕМАТИКИ
имени М.В. Келдыша
Российской академии наук

Ю.Ф. Голубев

Трансформация орбиты космического
аппарата по методу качелей

Москва – 2025

УДК 531.38

Голубев Ю.Ф. Трансформация орбиты космического аппарата по методу качелей

Представлен метод оптимального управления орбитой КА в центральном поле тяготения, основанный на принципе циклической подкачки энергии КА в механическую систему, находящуюся в окрестности минимума потенциальной энергии. Построен соответствующий алгоритм для двигателей с непрерывной тягой, импульсных двигателей, а также при использовании солнечного паруса. Аналитически продемонстрирована работоспособность алгоритма.

Ключевые слова: космический аппарат, орбита, управление, оптимизация

Yury Filippovich Golubev. Transformation of the spacecraft's orbit using the swing method

A method for optimal control of the spacecraft's orbit in the central gravitational field is presented, based on the principle of cyclic pumping of spacecraft energy into a mechanical system located in the vicinity of the minimum potential energy. An appropriate algorithm has been built for continuous thrust engines, pulse engines, as well as when using a solar sail. The efficiency of the algorithm has been analytically demonstrated.

Key words: space vehicle, orbit, control, optimization

Содержание

Введение	3
1. Влияние непрерывного управления на орбиту КА	3
2. Влияние импульсного управления	9
3. Регулярные уравнения управляемого движения КА	12
4. Декомпозиция управления	14
5. Управление амплитудой по методу качелей	16
6. Учёт специфики двигателей	19
7. Уравнения движения КА с солнечным парусом	24
8. Метод качелей для солнечного паруса	25
9. Логарифмическая спираль в поле тяготения Солнца	26
10. Влияние возмущений	29
Заключение	30
Список литературы	31

Введение

Необходимость изменить уже существующую орбиту КА возникает, например, когда космический аппарат выводится сначала на промежуточную орбиту спутника планеты прежде, чем направить его в дальний космос, либо когда требуется корректировка орбиты долгоживущего спутника, потерявшей свои полезные свойства из-за действия возмущений. Применяющиеся для этой цели методы с применением регулярной двигательной установки многократно и убедительно продемонстрировали свою эффективность во многих успешно выполненных космических программах [1, 2]. Вместе с тем всегда существующая потребность в удешевлении реализации новых проектов по исследованию и освоению космоса приводит к неизбежности поиска альтернативных подходов, в большей мере опирающихся на использование естественных сил для получения требуемого результата [3–6].

Замкнутые орбиты в центральном поле тяготения обладают свойством периодичности. Это даёт основание полагать, что с помощью небольших циклических воздействий можно постепенно целенаправленно преобразовывать орбиту, придавая ей нужную форму или превращая её в параболическую или гиперболическую с требуемыми свойствами [7]. В работах [8, 9] предложен общий метод управления амплитудой колебаний механических систем с дефицитом управления по одной степени свободы, находящихся в потенциальной яме. Оказывается, что и небесные тела при определённых условиях попадают в указанную категорию систем.

В данной работе решается задача об изменении траектории тела в центральном поле тяготения за счет циклических воздействий, обеспечивающих постепенную подкачку энергии в систему или постепенное её торможение с помощью техники, которая обычно используется при раскачивании качелей [8]. Она для своей реализации не требует прецизионного управления, но предполагает наличие достаточно большого времени для достижения требуемого конечного результата. Рассмотрены варианты управления посредством реактивного двигателя с непрерывной либо импульсной тягой, а также с помощью солнечного паруса.

1. Влияние непрерывного управления на орбиту КА

В инерциальной системе отсчёта уравнение управляемого движения КА в центральном поле тяготения имеет вид [10]:

$$\frac{d^2\mathbf{r}}{dt^2} = \ddot{\mathbf{r}} = -\frac{\mu\mathbf{r}}{r^3} + w\boldsymbol{\nu}, \quad (1.1)$$

где t — время, μ — гравитационная постоянная, \mathbf{r} — радиус-вектор центра масс КА с началом в притягивающем центре, r — модуль вектора \mathbf{r} , $w = -a\dot{m}/m$ — модуль управляющего реактивного ускорения, a — величина относительной скорости истечения реактивной струи, m — масса КА, $\boldsymbol{\nu}$ — единичный вектор направления управляющего реактивного ускорения.

Если $w = 0$, то величина $u = 1/r$ подчиняется следующему варианту уравнения Клеро-Лапласа для невозмущенного движения в центральном поле тяготения [11]

$$\frac{d^2u}{d\varphi^2} + u = \frac{\mu}{c^2}, \quad (1.2)$$

где c — постоянная площадей, равная удвоенной секторной скорости, а φ — полярный угол, отсчитываемый от некоторого фиксированного направления в плоскости движения: $\dot{\varphi} = c/r^2$. Это уравнение представляет собой уравнение гармонического осциллятора, решение которого при эксцентриситете $e = \sqrt{1 + 2ph/\mu} < 1$, где $p = c^2/\mu$ — параметр орбиты, $h = (v^2/2 - \mu/r)$ — постоянная энергии, меняется в ограниченных пределах: $u_\alpha \leq u \leq u_\pi$. Здесь $u_\alpha = 1/r_\alpha$ соответствует апоцентру, а $u_\pi = 1/r_\pi$ — перигею орбиты в центральном гравитационном поле, так что

$$u_\alpha = \frac{1 - e}{p}, \quad u_\pi = \frac{1 + e}{p}. \quad (1.3)$$

Направление колебаний задаётся вектором Лапласа \mathcal{L} , определяющим положение линии апсид в пространстве при $w = 0$:

$$\mathcal{L} = \mathbf{v} \times \mathbf{c} - \frac{\mu}{r} \mathbf{r}, \quad |\mathcal{L}| = \mu e, \quad (1.4)$$

где $\mathbf{c} = \mathbf{r} \times \mathbf{v}$ — постоянная векторного интеграла площадей. Для круговой орбиты, когда $u_\alpha = u_\pi$, имеем $\mathcal{L} = 0$, т.е. направление линии апсид не определено.

Если $w \neq 0$, то \mathbf{c} , h и \mathcal{L} станут переменными, а уравнение (1.2) перестанет быть справедливым. В этом случае

$$\frac{d\mathbf{c}}{dt} = w(\mathbf{r} \times \boldsymbol{\nu}). \quad (1.5)$$

Кроме того, имеем

$$\frac{d\mathcal{L}}{dt} = w[\boldsymbol{\nu} \times (\mathbf{r} \times \mathbf{v}) + \mathbf{v} \times (\mathbf{r} \times \boldsymbol{\nu})] = w[2\mathbf{r}(\boldsymbol{\nu} \cdot \mathbf{v}) - \mathbf{v}(\boldsymbol{\nu} \cdot \mathbf{r}) - \boldsymbol{\nu}(\mathbf{v} \cdot \mathbf{r})]. \quad (1.6)$$

Пусть $\mathcal{L} \neq 0$. Представим векторы $d\mathbf{c}/dt$ и $d\mathcal{L}/dt$ в виде

$$\frac{d\mathbf{c}}{dt} = \frac{\mathbf{c}}{c} \left(\frac{\mathbf{c}}{c} \cdot \frac{d\mathbf{c}}{dt} \right) + \boldsymbol{\Omega}_c \times \mathbf{c}, \quad \frac{d\mathcal{L}}{dt} = \frac{\mathcal{L}}{|\mathcal{L}|} \left(\frac{\mathcal{L}}{|\mathcal{L}|} \cdot \frac{d\mathcal{L}}{dt} \right) + \boldsymbol{\Omega}_\mathcal{L} \times \mathcal{L},$$

где $\boldsymbol{\Omega}_c \perp \mathbf{c}$ и $\boldsymbol{\Omega}_L \perp \mathcal{L}$ – угловые скорости векторов \mathbf{c} и \mathcal{L} соответственно. Тогда

$$\boldsymbol{\Omega}_c = \frac{1}{c^2} \left(\mathbf{c} \times \frac{d\mathbf{c}}{dt} \right), \quad \boldsymbol{\Omega}_L = \frac{1}{|\mathcal{L}|^2} \left(\mathcal{L} \times \frac{d\mathcal{L}}{dt} \right). \quad (1.7)$$

Теорема 1.1. *Модули векторов \mathbf{c} и \mathcal{L} подчиняются уравнениям*

$$\begin{aligned} \frac{dc}{dt} &= \frac{w}{c} [\mathbf{r}(\mathbf{r} \cdot \mathbf{v}) - \mathbf{v}r^2] \cdot \boldsymbol{\nu} = \frac{w}{c} (\mathbf{c} \times \mathbf{r}) \cdot \boldsymbol{\nu}, \\ \frac{d|\mathcal{L}|}{dt} &= \frac{w(\mathbf{r} \cdot \mathbf{v})}{|\mathcal{L}|} [\mathbf{v}(\mathbf{r} \cdot \mathbf{v}) - \mathbf{r}v^2] \cdot \boldsymbol{\nu} = \frac{w(\mathbf{r} \cdot \mathbf{v})}{|\mathcal{L}|} (\mathbf{c} \times \mathbf{v}) \cdot \boldsymbol{\nu}. \end{aligned} \quad (1.8)$$

Доказательство. С помощью формулы (1.5) найдём

$$\frac{dc}{dt} = \frac{\mathbf{c}}{c} \cdot \frac{d\mathbf{c}}{dt} = \frac{w}{c} \mathbf{c} \cdot (\mathbf{r} \times \boldsymbol{\nu}) = \frac{w}{c} (\mathbf{c} \times \mathbf{r}) \cdot \boldsymbol{\nu}.$$

Получилась первая формула (1.8).

Далее из формул (1.4) и (1.6) следует

$$\frac{d|\mathcal{L}|}{dt} = \frac{\mathcal{L}}{|\mathcal{L}|} \cdot \frac{d\mathcal{L}}{dt} = \frac{w}{|\mathcal{L}|} [\mathbf{r} \times (\mathbf{v} \times \mathcal{L}) - \mathcal{L} \times \mathbf{c}] \cdot \boldsymbol{\nu}.$$

Но

$$\begin{aligned} \mathbf{r} \times (\mathbf{v} \times \mathcal{L}) &= \mathbf{r} \times \left\{ \mathbf{v} \times \left[(\mathbf{v} \times \mathbf{c}) - \frac{\mu}{r} \mathbf{r} \right] \right\} = \mathbf{r} \times \left[\mathbf{v} \times (\mathbf{v} \times \mathbf{c}) - \frac{\mu}{r} (\mathbf{v} \times \mathbf{r}) \right] = \\ &= \mathbf{r} \times \left[\mathbf{v}(\mathbf{v} \cdot \mathbf{c}) - \mathbf{c}v^2 - \frac{\mu}{r} (\mathbf{v} \times \mathbf{r}) \right] = \left(\frac{\mu}{r} - v^2 \right) [\mathbf{r} \times (\mathbf{r} \times \mathbf{v})] = \\ &= \left(\frac{\mu}{r} - v^2 \right) [\mathbf{r}(\mathbf{r} \cdot \mathbf{v}) - \mathbf{v}r^2]. \end{aligned}$$

Кроме того,

$$\begin{aligned} \mathcal{L} \times \mathbf{c} &= \left[(\mathbf{v} \times \mathbf{c}) - \frac{\mu}{r} \mathbf{r} \right] \times \mathbf{c} = -\mathbf{c} \times (\mathbf{v} \times \mathbf{c}) - \frac{\mu}{r} (\mathbf{r} \times \mathbf{c}) = \\ &= -\mathbf{v}c^2 - \frac{\mu}{r} [\mathbf{r} \times (\mathbf{r} \times \mathbf{v})] = -\mathbf{v}c^2 - \frac{\mu}{r} [\mathbf{r}(\mathbf{r} \cdot \mathbf{v}) - \mathbf{v}r^2]. \end{aligned}$$

Складывая полученные выражения, убеждаемся в справедливости второй формулы (1.8). \diamond

Следствие 1.1. *Наибольшее влияние на величину секторной скорости оказывает управление, при котором вектор $\boldsymbol{\nu}$ компланарен плоскости орбиты и перпендикулярен радиус-вектору КА.*

Следствие 1.2. *Из правой части второго уравнения (1.8) видно, что при любом векторе $\boldsymbol{\nu}$ модуль вектора Лапласа достигает экстремальных значений в моменты пересечения космическим аппаратом линии апсид оскулирующей орбиты, т.е. когда $\mathbf{r} \cdot \mathbf{v} = 0$.*

Следствие 1.3. При $w \neq 0$ модуль вектора Лапласа не меняется, если в любой момент времени вектор $\boldsymbol{\nu}$ перпендикулярен вектору $(\mathbf{c} \times \mathbf{v})$. Модуль вектора площадей не меняется, если в любой момент времени вектор $\boldsymbol{\nu}$ перпендикулярен вектору $(\mathbf{c} \times \mathbf{r})$. Поскольку $\mathbf{c} = \mathbf{r} \times \mathbf{v} \neq 0$, все векторы, обеспечивающие одновременное постоянство указанных модулей, должны быть коллинеарны вектору \mathbf{c} . Следовательно, выполнение равенства $\boldsymbol{\nu} = \mathbf{c}/c$ в любой момент времени есть необходимое и достаточное условие того, что модуль вектора площадей и модуль вектора Лапласа одновременно остаются постоянными.

Теорема 1.2. Справедливы формулы

$$\boldsymbol{\Omega}_c = \frac{w(\mathbf{c} \cdot \boldsymbol{\nu})}{c^2} \mathbf{r}, \quad \boldsymbol{\Omega}_L = -\frac{w}{|\mathcal{L}|^2} \left\{ \mathbf{c}(\boldsymbol{\nu} \cdot \mathcal{L}) + \left[\frac{\mu}{r}(\boldsymbol{\nu} \times \mathbf{r}) - \mathbf{v}(\boldsymbol{\nu} \cdot \mathbf{c}) \right] (\mathbf{v} \cdot \mathbf{r}) \right\}. \quad (1.9)$$

Доказательство. Для доказательства первой формулы (1.9) воспользуемся формулами (1.5) и (1.7):

$$\boldsymbol{\Omega}_c = \frac{1}{c^2} \left(\mathbf{c} \times \frac{d\mathbf{c}}{dt} \right) = \frac{w}{c^2} [\mathbf{c} \times (\mathbf{r} \times \boldsymbol{\nu})] = \frac{w}{c^2} [\mathbf{r}(\mathbf{c} \cdot \boldsymbol{\nu}) - \boldsymbol{\nu}(\mathbf{r} \cdot \mathbf{c})],$$

но $\mathbf{r} \perp \mathbf{c}$, что и приводит к доказываемой формуле.

Перейдём к доказательству второй формулы (1.9). С помощью формул (1.4) и (1.6) найдём

$$\begin{aligned} \left(\frac{d\mathcal{L}}{dt} \times \mathcal{L} \right) &= [2\mathbf{r}(\boldsymbol{\nu} \cdot \mathbf{v}) - \mathbf{v}(\boldsymbol{\nu} \cdot \mathbf{r}) - \boldsymbol{\nu}(\mathbf{v} \cdot \mathbf{r})] \times \left(\mathbf{v} \times \mathbf{c} - \frac{\mu}{r} \mathbf{r} \right) = \\ &= -2\mathbf{c}(\mathbf{r} \cdot \mathbf{v})(\boldsymbol{\nu} \cdot \mathbf{v}) + c v^2(\boldsymbol{\nu} \cdot \mathbf{r}) + \mathbf{c}(\mathbf{r} \cdot \mathbf{v})(\boldsymbol{\nu} \cdot \mathbf{v}) - \mathbf{v}(\boldsymbol{\nu} \cdot \mathbf{c})(\mathbf{v} \cdot \mathbf{r}) + \\ &\quad + \frac{\mu}{r}(\mathbf{v} \times \mathbf{r})(\boldsymbol{\nu} \cdot \mathbf{r}) + \frac{\mu}{r}(\boldsymbol{\nu} \times \mathbf{r})(\mathbf{v} \cdot \mathbf{r}) = \\ &= \mathbf{c} \left[-(\mathbf{r} \cdot \mathbf{v})(\boldsymbol{\nu} \cdot \mathbf{v}) + v^2(\boldsymbol{\nu} \cdot \mathbf{r}) - \frac{\mu}{r}(\boldsymbol{\nu} \cdot \mathbf{r}) \right] + \left[\frac{\mu}{r}(\boldsymbol{\nu} \times \mathbf{r}) - \mathbf{v}(\boldsymbol{\nu} \cdot \mathbf{c}) \right] (\mathbf{v} \cdot \mathbf{r}) = \\ &= \mathbf{c} \left\{ \boldsymbol{\nu} \cdot \left[v^2 \mathbf{r} - \mathbf{v}(\mathbf{r} \cdot \mathbf{v}) - \frac{\mu}{r} \mathbf{r} \right] \right\} + \left[\frac{\mu}{r}(\boldsymbol{\nu} \times \mathbf{r}) - \mathbf{v}(\boldsymbol{\nu} \cdot \mathbf{c}) \right] (\mathbf{v} \cdot \mathbf{r}) = \\ &= \mathbf{c}(\boldsymbol{\nu} \cdot \mathcal{L}) + \left[\frac{\mu}{r}(\boldsymbol{\nu} \times \mathbf{r}) - \mathbf{v}(\boldsymbol{\nu} \cdot \mathbf{c}) \right] (\mathbf{v} \cdot \mathbf{r}). \end{aligned}$$

В итоге получается вторая формула (1.9). \diamond

Следствие 1.4. Угловая скорость вектора \mathbf{c} при любом управлении всегда направлена вдоль радиус-вектора КА. Управление w наиболее эффективно для поворота вектора \mathbf{c} , когда оно прикладывается в районе апоцентра орбиты КА.

Следствие 1.5. Если $w\mathcal{L} \neq 0$, то угловая скорость вектора Лапласа в инерциальном пространстве равна нулю тогда и только тогда, когда

$$\mathbf{c}(\boldsymbol{\nu} \cdot \mathcal{L}) + \left[\frac{\mu}{r}(\boldsymbol{\nu} \times \mathbf{r}) - \mathbf{v}(\boldsymbol{\nu} \cdot \mathbf{c}) \right] (\mathbf{v} \cdot \mathbf{r}) = 0. \quad (1.10)$$

Следствие 1.6. При $w \neq 0$ и $\boldsymbol{\nu} \cdot \mathbf{c} \neq 0$ равенство нулю угловой скорости вектора Лапласа возможно лишь тогда, когда выполнено $\mathbf{v} \cdot \mathbf{r} = \boldsymbol{\nu} \cdot \mathcal{L} = 0$.

Доказательство. Действительно,

$$\mathbf{c} \times \left[\frac{\mu}{r}(\boldsymbol{\nu} \times \mathbf{r}) - \mathbf{v}(\mathbf{c} \cdot \boldsymbol{\nu}) \right] = -\frac{\mu}{r}\mathbf{r}(\mathbf{c} \cdot \boldsymbol{\nu}) + \mathbf{v} \times \mathbf{c}(\mathbf{c} \cdot \boldsymbol{\nu}) = (\mathbf{c} \cdot \boldsymbol{\nu})\mathcal{L} \neq 0.$$

Следовательно, векторы \mathbf{c} и $[\mu(\boldsymbol{\nu} \times \mathbf{r})/r - \mathbf{v}(\mathbf{c} \cdot \boldsymbol{\nu})]$ неколлинеарны. Поэтому равенство (1.10) возможно лишь при $\mathbf{v} \cdot \mathbf{r} = \boldsymbol{\nu} \cdot \mathcal{L} = 0$. \diamond

Геометрический смысл следствия 1.6 состоит в том, что если единичный вектор $\boldsymbol{\nu}$ не компланарен плоскости орбиты, то равенство нулю угловой скорости вектора Лапласа возможно, лишь когда центр масс КА расположен на линии апсид оскулирующей орбиты, причём $\boldsymbol{\nu} \perp \mathcal{L}$.

Теорема 1.3. Пусть $w \neq 0$, но $\boldsymbol{\nu} \cdot \mathbf{c} = 0$. Тогда угловая скорость вектора Лапласа выражается формулой

$$\boldsymbol{\Omega}_{\mathcal{L}} = -\mathbf{c} \frac{w}{|\mathcal{L}|^2} \{ \boldsymbol{\nu} \cdot [\mathcal{L} + (\mathbf{v} \cdot \mathbf{r})\mathbf{P}] \}, \quad \text{где} \quad \mathbf{P} = \frac{\mu}{rc^2}(\mathbf{r} \times \mathbf{c}) = \frac{\mathbf{c} \times \mathcal{L}}{c^2} - \mathbf{v}. \quad (1.11)$$

Доказательство. При $\boldsymbol{\nu} \cdot \mathbf{c} = 0$ формула (1.9) принимает вид

$$\boldsymbol{\Omega}_{\mathcal{L}} = -\frac{w}{|\mathcal{L}|^2} \left[\mathbf{c}(\boldsymbol{\nu} \cdot \mathcal{L}) + \frac{\mu}{r}(\boldsymbol{\nu} \times \mathbf{r})(\mathbf{v} \cdot \mathbf{r}) \right]. \quad (1.12)$$

Вектор $(\boldsymbol{\nu} \times \mathbf{r})$ коллинеарен вектору \mathbf{c} . Поэтому его можно представить в виде

$$(\boldsymbol{\nu} \times \mathbf{r}) = \frac{\mathbf{c}}{c} \left[\frac{\mathbf{c}}{c} \cdot (\boldsymbol{\nu} \times \mathbf{r}) \right] = \frac{\mathbf{c}}{c^2} [\boldsymbol{\nu} \cdot (\mathbf{r} \times \mathbf{c})].$$

Подставив полученное выражение в формулу (1.12), получаем с учётом того, что $\mathbf{c} \neq 0$, равенство (1.11), в котором

$$\mathbf{P} = \frac{\mu}{rc^2}(\mathbf{r} \times \mathbf{c}),$$

но

$$\frac{\mu}{r}\mathbf{r} = (\mathbf{v} \times \mathbf{c}) - \mathcal{L}.$$

Поэтому

$$\mathbf{P} = \frac{1}{c^2} [(\mathbf{v} \times \mathbf{c}) - \mathcal{L}] \times \mathbf{c} = \frac{1}{c^2} [\mathbf{c} \times \mathcal{L} - \mathbf{c} \times (\mathbf{v} \times \mathbf{c})],$$

откуда и следует вторая формула для \mathbf{P} в (1.11). \diamond

Следствие 1.7. Если $w \neq 0$, а вектор $\boldsymbol{\nu}$ компланарен плоскости орбиты, то плоскость орбиты постоянна в инерциальном пространстве, а вектор Лапласа вращается в этой плоскости с угловой скоростью

$$\Omega_{\mathcal{L}} = -\frac{cw}{|\mathcal{L}|^2} \{ \boldsymbol{\nu} \cdot [\mathcal{L} + (\mathbf{v} \cdot \mathbf{r})\mathbf{P}] \} \quad (1.13)$$

вокруг вектора \mathbf{c} .

Следствие 1.8. Пусть $w \neq 0$ и $\boldsymbol{\nu} \cdot \mathbf{c} = 0$. Тогда если вектор $\boldsymbol{\nu}$ в любой момент времени удовлетворяет условию

$$\boldsymbol{\nu} \cdot [\mathcal{L} + (\mathbf{v} \cdot \mathbf{r})\mathbf{P}] = 0, \quad (1.14)$$

то вектор Лапласа сохраняет направление в инерциальном пространстве.

Следствие 1.8 говорит о том, что за счёт выбора направления управляющего ускорения, расположенного в плоскости орбиты, всегда в соответствии с формулой (1.14) можно сохранять постоянным направление вектора Лапласа в инерциальном пространстве.

Теорема 1.4. Если $\boldsymbol{\nu} = \mathbf{c}/c$, то фигура, образованная векторами \mathbf{c} и \mathcal{L} , вращается как твёрдое тело с мгновенной угловой скоростью

$$\boldsymbol{\Omega} = \frac{w}{c} \mathbf{r}. \quad (1.15)$$

Доказательство. В соответствии со следствием 1.3 при выборе $\boldsymbol{\nu} = \mathbf{c}/c$ модули векторов \mathbf{c} и \mathcal{L} не меняются. Формулы (1.9) принимают вид

$$\boldsymbol{\Omega}_c = \frac{w}{c} \mathbf{r}, \quad \boldsymbol{\Omega}_{\mathcal{L}} = -\frac{w}{|\mathcal{L}|^2 c} (\mathcal{L} \times \mathbf{c})(\mathbf{v} \cdot \mathbf{r}). \quad (1.16)$$

Векторы \mathbf{r} , \mathcal{L} и $(\mathcal{L} \times \mathbf{c})$ лежат в плоскости орбиты, причём $\mathcal{L} \perp (\mathcal{L} \times \mathbf{c})$. Представим вектор \mathbf{r} следующим образом:

$$\mathbf{r} = \frac{\mathcal{L}}{|\mathcal{L}|} \left(\frac{\mathcal{L}}{|\mathcal{L}|} \cdot \mathbf{r} \right) + \frac{(\mathcal{L} \times \mathbf{c})}{|\mathcal{L}|c} \left[\frac{(\mathcal{L} \times \mathbf{c})}{|\mathcal{L}|c} \cdot \mathbf{r} \right].$$

но

$$\left[\frac{(\mathcal{L} \times \mathbf{c})}{|\mathcal{L}|c} \cdot \mathbf{r} \right] = \left[\frac{(\mathbf{r} \times \mathcal{L})}{|\mathcal{L}|c} \cdot \mathbf{c} \right] = -\frac{(\mathbf{v} \cdot \mathbf{r})c}{|\mathcal{L}|}.$$

Следовательно,

$$-\frac{(\mathcal{L} \times \mathbf{c})}{|\mathcal{L}|^2} (\mathbf{v} \cdot \mathbf{r}) = \mathbf{r} - \frac{\mathcal{L}}{|\mathcal{L}|} \left(\frac{\mathcal{L}}{|\mathcal{L}|} \cdot \mathbf{r} \right).$$

Последнее слагаемое в правой части полученной формулы параллельно вектору \mathcal{L} , поэтому его можно не учитывать при вычислении линейной скорости конца вектора \mathcal{L} , положив $\boldsymbol{\Omega}_{\mathcal{L}} = \boldsymbol{\Omega}_c = \boldsymbol{\Omega}$. \diamond

2. Влияние импульсного управления

Рассмотрим влияние на векторные характеристики орбиты КА импульсного управления, когда в некоторый момент времени движения скорость КА скачком меняется как по величине, так и по направлению:

$$\mathbf{v}^+ = \mathbf{v}^- + I\boldsymbol{\nu}, \quad (2.1)$$

где \mathbf{v}^- — скорость КА до приложения импульса, \mathbf{v}^+ — скорость КА после приложения импульса, I — одиночный удельный импульс, развиваемый двигателем в указанный момент времени, $\boldsymbol{\nu}$ — как и прежде, задаёт направление импульса. Радиус-вектор \mathbf{r} аппарата при этом не меняется. Тогда, очевидно,

$$\begin{aligned} \mathbf{c}^+ &= \mathbf{c}^- + \Delta\mathbf{c}, & \mathcal{L}^+ &= \mathcal{L}^- + \Delta\mathcal{L}, \\ \Delta\mathbf{c} &= I(\mathbf{r} \times \boldsymbol{\nu}), & \Delta\mathcal{L} &= I[\boldsymbol{\nu} \times (\mathbf{r} \times \mathbf{v}^-) + \mathbf{v}^- \times (\mathbf{r} \times \boldsymbol{\nu})] + I^2[\boldsymbol{\nu} \times (\mathbf{r} \times \boldsymbol{\nu})]. \end{aligned} \quad (2.2)$$

Лемма 2.1. Пусть

$$\boldsymbol{\nu} = \frac{\mathbf{r}}{r}, \quad I = -\frac{\mathbf{r} \cdot \mathbf{v}^-}{r}.$$

Тогда

$$\mathcal{L}^+ = \frac{\mathbf{r}}{r^2}[(c^-)^2 - \mu r], \quad \mathbf{c}^+ = \mathbf{c}^- \quad (2.3)$$

то есть $\mathcal{L}^+ \parallel \mathbf{r}$, а полученный в результате такого импульса вектор Лапласа проходит через точку, в которой был приложен импульс.

Доказательство. В рассматриваемом случае имеем

$$\begin{aligned} \Delta\mathbf{c} &= \frac{I}{r}(\mathbf{r} \times \mathbf{r}) = 0, \\ \mathcal{L}^+ &= \mathcal{L}^- + \frac{I}{r}[\mathbf{r} \times (\mathbf{r} \times \mathbf{v}^-)] = \mathbf{r}(v^-)^2 - \mathbf{v}^-(\mathbf{r} \cdot \mathbf{v}^-) - \frac{\mu}{r}\mathbf{r} + \\ &+ \frac{I}{r}[\mathbf{r}(\mathbf{r} \cdot \mathbf{v}^-) - \mathbf{v}^- r^2] = \mathbf{r} \left[(v^-)^2 - \frac{\mu}{r} + \frac{I}{r}(\mathbf{r} \cdot \mathbf{v}^-) \right] - \mathbf{v}^- [(\mathbf{r} \cdot \mathbf{v}^-) + Ir]. \end{aligned}$$

Если принять I таким, как в условии леммы, то получим

$$\mathcal{L}^+ = \mathbf{r} \left[(v^-)^2 - \frac{\mu}{r} - \frac{(\mathbf{r} \cdot \mathbf{v}^-)^2}{r^2} \right] = \frac{\mathbf{r}}{r^2} [r^2(v^-)^2 - (\mathbf{r} \cdot \mathbf{v}^-)^2 - \mu r] = \frac{\mathbf{r}}{r^2} [(c^-)^2 - \mu r],$$

что и требовалось доказать. \diamond

Представим векторы $\Delta\mathbf{c}$ и $\Delta\mathcal{L}$ в виде

$$\Delta\mathbf{c} = \frac{\mathbf{c}^-}{c^-} \left(\frac{\mathbf{c}^-}{c^-} \cdot \Delta\mathbf{c} \right) + \boldsymbol{\Phi}_c \times \mathbf{c}^-, \quad \Delta\mathcal{L} = \frac{\mathcal{L}^-}{|\mathcal{L}^-|} \left(\frac{\mathcal{L}^-}{|\mathcal{L}^-|} \cdot \Delta\mathcal{L} \right) + \boldsymbol{\Phi}_L \times \mathcal{L}^-, \quad (2.4)$$

где $\boldsymbol{\Phi}_c$ и $\boldsymbol{\Phi}_L$ характеризуют поперечные смещения концов соответствующих векторов. Тогда по аналогии с формулами (1.8) получим теорему

Теорема 2.1. *Проекции $\Delta \mathbf{c}$ и $\Delta |\mathcal{L}|$ приращений $\Delta \mathbf{c}$ и $\Delta \mathcal{L}$ на направления векторов \mathbf{c}^- и \mathcal{L}^- , которые были до приложения импульса, имеют вид соответственно*

$$\begin{aligned}\Delta \mathbf{c} &= \frac{\mathbf{c}^-}{c^-} \cdot \Delta \mathbf{c} = \frac{I}{c^-} (\mathbf{c}^- \times \mathbf{r}) \cdot \boldsymbol{\nu}, \\ \Delta |\mathcal{L}| &= \frac{I(\mathbf{r} \cdot \mathbf{v}^-)}{|\mathcal{L}^-|} (\mathbf{c}^- \times \mathbf{v}^-) \cdot \boldsymbol{\nu} + \frac{I^2}{|\mathcal{L}^-|} \{ [(c^-)^2 - \mu r] - (\mathcal{L}^- \cdot \boldsymbol{\nu})(\mathbf{r} \cdot \boldsymbol{\nu}) \}.\end{aligned}\quad (2.5)$$

Доказательство. Выражения для линейных по I членов вполне аналогичны выражениям для линейных по w членов в формулах (1.8). Коэффициент при I^2 получается посредством преобразования:

$$\mathcal{L}^- \cdot [\boldsymbol{\nu} \times (\mathbf{r} \times \boldsymbol{\nu})] = \mathcal{L}^- \cdot [\mathbf{r} - \boldsymbol{\nu}(\boldsymbol{\nu} \cdot \mathbf{r})] = [(c^-)^2 - \mu r] - (\mathcal{L}^- \cdot \boldsymbol{\nu})(\mathbf{r} \cdot \boldsymbol{\nu}),$$

что и требовалось доказать. \diamond

Следствие 2.1. *Приложение одиночного импульса ($I \neq 0$) с направляющим вектором $\boldsymbol{\nu} = \mathbf{c}/c$ обеспечивает постоянство модуля вектора Лапласа только при $\mathbf{r} \perp \mathcal{L}^-$, в то время как постоянство модуля вектора площадей обеспечивается при любом положении КА на орбите.*

По аналогии с теоремой 1.2 получим теорему

Теорема 2.2. *Справедливы формулы*

$$\begin{aligned}\Phi_{\mathbf{c}} &= \frac{I(\mathbf{c}^- \cdot \boldsymbol{\nu})}{(c^-)^2} \mathbf{r}, \\ \Phi_{\mathcal{L}} &= -\frac{I}{|\mathcal{L}^-|^2} \left\{ \mathbf{c}^- (\boldsymbol{\nu} \cdot \mathcal{L}^-) + \left[\frac{\mu}{r} (\boldsymbol{\nu} \times \mathbf{r}) - \mathbf{v}^- (\boldsymbol{\nu} \cdot \mathbf{c}^-) \right] (\mathbf{v}^- \cdot \mathbf{r}) \right\} + \\ &\quad + \frac{I^2}{|\mathcal{L}^-|^2} [\mathbf{c}^- (\mathbf{v}^- \cdot \mathbf{r}) - (\mathcal{L}^- \times \boldsymbol{\nu})(\boldsymbol{\nu} \cdot \mathbf{r})].\end{aligned}\quad (2.6)$$

Доказательство. Линейные по I части формул (2.6) аналогичны линейным по w частям формул (1.9). Коэффициент при I^2 получается с помощью формулы (2.2) следующим образом:

$$\mathcal{L}^- \times [\boldsymbol{\nu} \times (\mathbf{r} \times \boldsymbol{\nu})] = \mathcal{L}^- \times [\mathbf{r} - \boldsymbol{\nu}(\boldsymbol{\nu} \cdot \mathbf{r})] = (\mathbf{v}^- \times \mathbf{c}^-) \times \mathbf{r} - (\mathcal{L}^- \times \boldsymbol{\nu})(\boldsymbol{\nu} \cdot \mathbf{r}),$$

откуда и следует доказываемая формула. \diamond

Следствие 2.2. *Если $I \neq 0$ и $(\boldsymbol{\nu} \cdot \mathbf{c}^-) \neq 0$, то равенство $\Phi_{\mathcal{L}} = 0$ может быть достигнуто тогда и только тогда, когда $[(\mathbf{v}^- - I\boldsymbol{\nu}) \cdot \mathbf{r}] = 0$.*

Доказательство. Учтём доказательство следствия 1.6 и рассмотрим векторное произведение

$$\begin{aligned} \mathbf{c}^- \times \left\{ \left[\frac{\mu}{r} (\boldsymbol{\nu} \times \mathbf{r}) - \mathbf{v}^- (\boldsymbol{\nu} \cdot \mathbf{c}^-) \right] (\mathbf{v}^- \cdot \mathbf{r}) + I [\mathbf{c}^- (\mathbf{v}^- \cdot \mathbf{r}) - (\mathcal{L}^- \times \boldsymbol{\nu}) (\boldsymbol{\nu} \cdot \mathbf{r})] \right\} = \\ = (\mathbf{v}^- \cdot \mathbf{r}) (\mathbf{c}^- \cdot \boldsymbol{\nu}) \mathcal{L}^- - I \mathbf{c}^- \times (\mathcal{L}^- \times \boldsymbol{\nu}) (\boldsymbol{\nu} \cdot \mathbf{r}) = (\mathbf{c}^- \cdot \boldsymbol{\nu}) [(\mathbf{v}^- - I \boldsymbol{\nu}) \cdot \mathbf{r}] \mathcal{L}^-. \end{aligned}$$

Пусть $[(\mathbf{v}^- - I \boldsymbol{\nu}) \cdot \mathbf{r}] \neq 0$. Это, согласно условиям следствия, означает, что векторы $\Phi_{\mathcal{L}}$ и \mathbf{c} неколлинеарны и не обращаются в ноль.

С другой стороны, если справедливо равенство $[(\mathbf{v}^- - I \boldsymbol{\nu}) \cdot \mathbf{r}] = 0$, то $\Phi_{\mathcal{L}} = 0$ получается, например, когда КА находится на линии апсид, при условии, что $(\boldsymbol{\nu} \cdot \mathbf{r}) = 0$. \diamond

Теорема 2.3. Пусть $\boldsymbol{\nu} = \mathbf{c}^- / c^-$. Тогда можно принять

$$\Phi_c = \Phi_{\mathcal{L}} = \Phi = \frac{I}{c} \mathbf{r} + \frac{I^2 (\mathbf{v}^- \cdot \mathbf{r})}{|\mathcal{L}^-|^2} \mathbf{c}^-. \quad (2.7)$$

Доказательство. При $\boldsymbol{\nu} = \mathbf{c}^- / c^-$ формулы (2.6) принимают вид

$$\Phi_c = \frac{I}{c^-} \mathbf{r}, \quad \Phi_{\mathcal{L}} = -\frac{I}{|\mathcal{L}^-|^2 c^-} (\mathcal{L}^- \times \mathbf{c}^-) (\mathbf{v}^- \cdot \mathbf{r}) + \frac{I^2}{|\mathcal{L}^-|^2} [\mathbf{c}^- (\mathbf{v}^- \cdot \mathbf{r})]. \quad (2.8)$$

Преобразуем коэффициент при I во второй формуле (2.8) так же, как это было сделано при доказательстве теоремы 1.4:

$$\Phi_{\mathcal{L}} = \frac{I}{c^-} \mathbf{r} + \frac{I^2}{|\mathcal{L}^-|^2} [\mathbf{c}^- (\mathbf{v}^- \cdot \mathbf{r})].$$

Теперь, поскольку коэффициент при I^2 в выражении для $\Phi_{\mathcal{L}}$ параллелен вектору \mathbf{c}^- , можно положить

$$\Phi_c = \frac{I}{c^-} \mathbf{r} + \frac{I^2}{|\mathcal{L}^-|^2} [\mathbf{c}^- (\mathbf{v}^- \cdot \mathbf{r})],$$

что и доказывает данную теорему. \diamond

Теорема 2.4. Пусть $I \neq 0$, но $\boldsymbol{\nu} \cdot \mathbf{c} = 0$. Тогда

$$\begin{aligned} \Phi_{\mathcal{L}} = -\mathbf{c}^- \frac{I}{|\mathcal{L}^-|^2} \left\{ \boldsymbol{\nu} \cdot \left[\mathcal{L}^- + (\mathbf{v}^- \cdot \mathbf{r}) \mathbf{P}^- - \frac{I}{(c^-)^2} (\mathbf{c}^- \times \mathcal{L}^-) (\boldsymbol{\nu} \cdot \mathbf{r}) \right] - I (\mathbf{v}^- \cdot \mathbf{r}) \right\}, \\ \mathbf{P}^- = \frac{\mu}{r (c^-)^2} (\mathbf{r} \times \mathbf{c}^-) = \frac{\mathbf{c}^- \times \mathcal{L}^-}{(c^-)^2} - \mathbf{v}^-. \end{aligned} \quad (2.9)$$

Доказательство. Линейная по I часть формулы (2.6) преобразуется аналогично тому, как это было сделано в доказательстве теоремы 1.3. Кроме того, учтём, что векторы \mathcal{L}^- и $\boldsymbol{\nu}$ принадлежат плоскости движения. Тогда

$$(\mathcal{L}^- \times \boldsymbol{\nu}) = \frac{\mathbf{c}^-}{(c^-)^2} [\mathbf{c}^- \cdot (\mathcal{L}^- \times \boldsymbol{\nu})] = \frac{\mathbf{c}^-}{(c^-)^2} [\boldsymbol{\nu} \cdot (\mathbf{c}^- \times \mathcal{L}^-)],$$

откуда и следует доказываемая формула. \diamond

Следствие 2.3. *Если КА расположен на линии апсид, а направление импульса параллельно плоскости орбиты и перпендикулярно радиус-вектору КА, то вектор Лапласа не изменяет своего направления. Если же импульс прикладывается в других произвольных точках орбиты, то направление вектора Лапласа не меняется, когда вектор $\boldsymbol{\nu}$ и величина импульса I связаны уравнением*

$$\boldsymbol{\nu} \cdot \left[\mathcal{L}^- + (\mathbf{v}^- \cdot \mathbf{r}) \mathbf{P}^- - \frac{I}{(c^-)^2} (\mathbf{c}^- \times \mathcal{L}^-) (\boldsymbol{\nu} \cdot \mathbf{r}) \right] - I (\mathbf{v}^- \cdot \mathbf{r}) = 0. \quad (2.10)$$

Видим, что требование существования решения уравнения (2.10) в общем положении КА на орбите ограничивает допустимую величину импульса I , что не всегда приемлемо.

3. Регулярные уравнения управляемого движения КА

Найдем аналог уравнению (1.2) при $w \neq 0$. Пусть τ – регуляризирующая [12] независимая переменная, определённая равенством $r^2 d\tau = c_0 dt$. Постоянная c_0 может быть выбрана произвольно. В частности, она может совпадать с начальным значением переменной c при $t = \tau = 0$. Тогда

$$\frac{du}{d\tau} = \frac{du}{dt} \frac{dt}{d\tau} = \frac{r^2}{c_0} \frac{du}{dt} = -\frac{u}{c_0} (\mathbf{r} \cdot \mathbf{v}). \quad (3.1)$$

Далее

$$\frac{d^2 u}{d\tau^2} = \frac{d}{d\tau} \left(\frac{du}{d\tau} \right) = \frac{u}{c_0^2} \left[(\mathbf{r} \cdot \mathbf{v})^2 - r^2 \frac{d}{dt} (\mathbf{r} \cdot \mathbf{v}) \right] = \frac{u}{c_0^2} [(\mathbf{r} \cdot \mathbf{v})^2 - r^2 v^2 - r^2 (\mathbf{r} \cdot \ddot{\mathbf{r}})].$$

Заметим, что $r^2 v^2 - (\mathbf{r} \cdot \mathbf{v})^2 = c^2$ есть квадрат текущей удвоенной секторной скорости, в данном случае переменной. Подставив сюда правую часть уравнения (1.1), найдём

$$\frac{d^2 u}{d\tau^2} + \frac{c^2}{c_0^2} u = \frac{\mu}{c_0^2} - \frac{w}{c_0^2} \boldsymbol{\nu} \cdot \mathbf{r}. \quad (3.2)$$

Как следует из формул (1.9) и (2.6), плоскость орбиты остаётся неподвижной в пространстве, если $\boldsymbol{\nu} \cdot \mathbf{c} = 0$. Допустим, что это условие выполнено, т.е. вектор $\boldsymbol{\nu}$ компланарен плоскости орбиты. Зададим вектор $\boldsymbol{\nu}$ следующим образом:

$$\boldsymbol{\nu} = \frac{\mathbf{r}}{r} \cos \theta + \frac{\mathbf{c} \times \mathbf{r}}{cr} \sin \theta, \quad (3.3)$$

где угол θ отсчитывается от вектора \mathbf{r} к вектору $\boldsymbol{\nu}$ в кратчайшем направлении. Тогда получим

$$\frac{d\mathbf{c}}{dt} = \mathbf{r} \times \dot{\mathbf{v}} = w(\mathbf{r} \times \boldsymbol{\nu}) = \frac{\mathbf{c}}{c} wr \sin \theta \rightarrow \frac{dc}{dt} = wr \sin \theta. \quad (3.4)$$

Лемма 3.1. Угловая скорость вектора Лапласа выражается формулой

$$\Omega_{\mathcal{L}} = -\frac{cw}{|\mathcal{L}|^2} \left[\left(\frac{c^2}{r} - \mu \right) \cos \theta - (\mathbf{r} \cdot \mathbf{v}) \left(\frac{c}{r} + \frac{\mu}{c} \right) \sin \theta \right]. \quad (3.5)$$

Доказательство. Воспользуемся формулами (1.13) и (3.3). Тогда

$$\begin{aligned} \boldsymbol{\nu} \cdot [\mathcal{L} + (\mathbf{v} \cdot \mathbf{r})\mathbf{P}] &= \left[\frac{\mathbf{r}}{r} \cos \theta + \frac{\mathbf{c} \times \mathbf{r}}{cr} \sin \theta \right] \cdot [\mathcal{L} + (\mathbf{v} \cdot \mathbf{r})\mathbf{P}] = \\ &= \frac{\mathbf{r} \cdot \mathcal{L}}{r} \cos \theta + \left[\frac{(\mathbf{c} \times \mathbf{r}) \cdot \mathcal{L}}{cr} + \frac{\mathbf{v} \cdot \mathbf{r}}{cr} [(\mathbf{c} \times \mathbf{r}) \cdot \mathbf{P}] \right] \sin \theta = \\ &= \frac{\cos \theta}{r} \left[\mathbf{r} \cdot (\mathbf{v} \times \mathbf{c}) - \frac{\mu}{r} r^2 \right] + \left[\frac{(\mathbf{c} \times \mathbf{r}) \cdot (\mathbf{v} \times \mathbf{c})}{cr} + \frac{\mathbf{v} \cdot \mathbf{r}}{cr} [(\mathbf{c} \times \mathbf{r}) \cdot \frac{\mu}{rc^2} (\mathbf{r} \times \mathbf{c})] \right] \sin \theta = \\ &= \frac{\cos \theta}{r} (c^2 - \mu r) + \left[-\frac{c^2 (\mathbf{v} \cdot \mathbf{r})}{cr} - \frac{(\mathbf{v} \cdot \mathbf{r}) \mu}{crrc^2} (\mathbf{r} \times \mathbf{c})^2 \right] \sin \theta, \end{aligned}$$

откуда и следует доказываемая формула. \diamond

Переходя к независимой переменной τ , окончательно найдём систему уравнений, регулярную вблизи притягивающего центра:

$$\left\{ \begin{aligned} \frac{dc}{d\tau} &= \frac{dc}{dt} \frac{dt}{d\tau} = \frac{w \sin \theta}{c_0 u^3}, \\ \frac{d^2 u}{d\tau^2} + \frac{c^2}{c_0^2} u &= \frac{\mu}{c_0^2} - \frac{w}{c_0^2 u^2} \cos \theta, \\ \frac{d\varphi}{d\tau} &= \frac{c}{c_0}, \\ \frac{d\psi}{d\tau} &= -\frac{cw}{|\mathcal{L}|^2 c_0 u^2} \left[\frac{c_0}{cu} \frac{du}{d\tau} (c^2 u + \mu) \sin \theta + (c^2 u - \mu) \cos \theta \right], \\ \frac{d|\mathcal{L}|}{d\tau} &= \frac{cw}{u^2 |\mathcal{L}|} \left(c \cos \theta + \frac{c_0}{u} \frac{du}{d\tau} \sin \theta \right) \frac{du}{d\tau}, \end{aligned} \right. \quad (3.6)$$

где ψ — угол поворота линии апсид, отсчитываемый от фиксированного направления в плоскости орбиты.

4. Декомпозиция управления

Можно поставить задачу о выборе управления $\mathbf{w} = w\boldsymbol{\nu}$ с целью увеличения отрезка $[u_\alpha, u_\pi]$ (см. формулы (1.3)), что означает раскрутку траектории КА от притягивающего центра, либо с целью уменьшения указанного отрезка, что означает сворачивание орбиты в направлении притягивающего центра и приближение её к круговой.

Исследуем сначала случай, когда возможно независимое управление как направлением вектора $\boldsymbol{\nu}$, так и величиной w .

Потребуем, чтобы вектор управления в любой момент времени движения был перпендикулярен радиус-вектору центра масс КА: $\theta = \pm\pi/2$. Уравнения движения примут вид

$$\left\{ \begin{array}{l} \frac{d}{d\tau} \left(\frac{c}{c_0} \right) = \frac{d}{dt} \left(\frac{c}{c_0} \right) \frac{dt}{d\tau} = \frac{w}{c_0^2 u^3}, \\ \frac{d^2 u}{d\tau^2} + \frac{c^2}{c_0^2} u = \frac{\mu}{c_0^2}, \\ \frac{d\varphi}{d\tau} = \frac{c}{c_0}, \\ \frac{d\psi}{d\tau} = - \frac{(c^2 u + \mu) w}{|\mathcal{L}|^2 u^3} \frac{du}{d\tau}, \\ \frac{d|\mathcal{L}|}{d\tau} = \frac{c^2 w}{u^2 |\mathcal{L}|} \frac{du}{d\tau}, \end{array} \right. \quad (4.1)$$

где управление w может быть как положительным, так и отрицательным.

В этих уравнениях непосредственному влиянию управления подвержена секторная скорость аппарата, и уже через неё осуществляется управление радиальной составляющей движения. Система имеет дефицит управления по переменной u . При постоянном ($w \equiv 0$) значении параметра c второе уравнение системы (4.1) описывает гармонические колебания относительно положения равновесия

$$u_e(c) = \frac{\mu}{c^2} \quad (4.2)$$

и может быть представлено в виде

$$\frac{d^2 q}{d\tau^2} = - \frac{c^2}{c_0^2} q, \quad q = u - u_e(c). \quad (4.3)$$

Рассмотрим задачу об оптимизации амплитуды колебаний по переменной u с помощью циклических изменений секторной скорости. Следуя работам [8,9],

в уравнениях (4.1) примем величину

$$U(\tau) = \frac{c^2(\tau)}{c_0^2} > 0 \quad (4.4)$$

в качестве управления. В дальнейшем предполагается, что управление не должно приводить к перемене знака c . Поэтому случай $U = 0$ исключается из рассмотрения. Второе уравнение (4.1) примет вид

$$\frac{d^2u}{d\tau^2} = \frac{\mu}{c_0^2} - Uu. \quad (4.5)$$

Согласно [8,9], максимальное значение амплитуды колебаний достигается при

$$U^* = \begin{cases} \operatorname{argmax}_U \left(\frac{\mu}{c_0^2} - Uu \right), & u_\alpha \rightarrow u \rightarrow u_\pi, \\ \operatorname{argmin}_U \left(\frac{\mu}{c_0^2} - Uu \right), & u_\pi \rightarrow u \rightarrow u_\alpha \end{cases}$$

для любого фиксированного значения u . Здесь, как и ранее, u_α — значение u в апоцентре орбиты, а u_π — значение u в перигентре орбиты. Понятно, что

$$0 < u_\alpha \leq u_\pi \leq u_p, \quad (4.6)$$

где u_p — величина, обратная безопасному радиусу приближения к притягивающему центру. Поскольку правая часть второго уравнения (4.1) линейна по U и $u > 0$, то экстремальным значениям величины U будут соответствовать экстремальные в таком же смысле значения величины w в первом уравнении (4.1).

Пусть никаких специальных ограничений непосредственно на величину U , кроме того, что $U > 0$, не существует, но управление w имеет ограниченные возможности. Для того чтобы выразить это свойство и отделить задачу выбора оптимальной величины U от задачи её реализации, требующей хотя бы элементарного учёта конструкции двигателей, будем считать, что приращение $|\Delta U|$ к уже достигнутому значению U_i при включённом управлении w не может превышать некоторого фиксированного значения

$$|\Delta U| \leq P_i, \quad (4.7)$$

где i — номер полуразмаха колебаний. Решение задачи выбора оптимального значения управления w после нахождения оптимальной функции $\Delta U = \Delta U_{op}$ облегчается при учёте свойств этой функции.

Условимся, что если процедура управления колебаниями начинается от момента достижения перигентра, то всем этапам движения от перигентра

соответствуют нечётные номера, а всем этапам движения от апоцентра — чётные.

Обозначим

$$U_m(i) \leq U \leq U_M(i) = U_i + P_i, \quad (4.8)$$

где

$$0 < U_{inf} \leq U_m(i) = \begin{cases} U_i - P_i, & P_i \leq U_i - U_{inf}, \\ U_{inf}, & P_i > U_i - U_{inf}, \end{cases} \quad (4.9)$$

а $U_{inf} > 0$ — некоторое минимально допустимое безопасное значение U . Кроме того, обозначим

$$U_{i=2k} = \begin{cases} U_m(i), & u_\pi \rightarrow \max, \\ U_M(i), & u_\pi \rightarrow \min, \end{cases} \quad U_{i=2k+1} = \begin{cases} U_m(i), & u_\alpha \rightarrow \max, \\ U_M(i), & u_\alpha \rightarrow \min, \end{cases} \quad k = 0, 1, \dots \quad (4.10)$$

5. Управление амплитудой по методу качелей

Зададим начальные значения

$$u_0 = u_\pi(i), \quad u'_0 = \left. \frac{du}{d\tau} \right|_{\tau=0} = 0, \quad U = U_i, \quad i = 2k + 1. \quad (5.1)$$

Здесь U_i соответствует имеющейся на данный момент орбите. На этапе перелёта от перицентра к апоцентру могут решаться следующие задачи для выбора управления U .

Задача 5.1. Обеспечить перелёт, при котором $u_\alpha \rightarrow \min$, что будет означать максимальное увеличение радиуса апоцентра (раскрутку траектории). Здесь следует учитывать нижнюю границу неравенства (4.6).

Задача 5.2. Обеспечить перелёт, при котором $u_\alpha \rightarrow \max$, что будет означать максимальное уменьшение радиуса апоцентра (сворачивания траектории). Здесь следует учитывать среднюю часть ограничения (4.6).

Для решения задачи 5.1 ($i = 2k + 1$) следует, согласно (4.10), принять

$$U = U_M(i) = U(i) + P_i = \text{const}$$

вплоть до достижения апоцентра. При этом секторная скорость окажется

постоянной, а уравнения (4.1) предстанут в виде

$$\begin{cases} \frac{dU}{d\tau} = 0, \\ \frac{d^2u}{d\tau^2} + uU_M(i) = \frac{\mu}{c_0^2}, \\ \frac{d\varphi}{d\tau} = \sqrt{U_M(i)}, \\ \frac{d\psi}{d\tau} = 0, \\ \frac{d|\mathcal{L}|}{d\tau} = 0. \end{cases} \quad (5.2)$$

Перейдём во втором уравнении системы (5.2) к независимой переменной φ :

$$\frac{d^2u}{d\varphi^2} + u = \frac{\mu}{c_0^2 U_M(i)} = \frac{\mu}{c_M^2(i)}, \quad c_M(i) = c_0 \sqrt{U_M(i)}.$$

Как уже указывалось, это известное уравнение Клеро-Лапласа. Его решение, удовлетворяющее начальным условиям при $\varphi = \varphi_0 = 0$, имеет вид

$$u = \left(u_\pi(i) - \frac{\mu}{c_M^2(i)} \right) \cos \varphi + \frac{\mu}{c_M^2(i)}, \quad e(i) = \frac{c_M^2(i)}{\mu} u_\pi(i) - 1, \quad (5.3)$$

где $e(i)$ – эксцентриситет переходной орбиты от $u_\pi(i)$ к $u_\alpha(i)$, φ отсчитывается от перицентра орбиты. Значение $u = u_\alpha(i)$, соответствующее апоцентру орбиты на i -м шаге алгоритма раскачивания, получается с помощью формулы

$$u_\alpha(i) = \frac{2\mu}{c_M^2(i)} - u_\pi(i) = \frac{2\mu}{c_0^2 U_M(i)} - u_\pi(i). \quad (5.4)$$

Очевидно, что значение $u_\alpha(i-1)$, которое соответствовало предыдущему шагу алгоритма, выражается формулой

$$u_\alpha(i-1) = \frac{2\mu}{c_0^2 U_i} - u_\pi(i).$$

Следовательно,

$$u_\alpha(i) - u_\alpha(i-1) = \frac{2\mu}{c_0^2 U_M(i)} - \frac{2\mu}{c_0^2 U_i} = -\frac{2\mu}{c_0^2} \frac{P_i}{U_M(i)U_i} < 0, \quad (5.5)$$

что и требовалось получить. Если окажется, что при каком-то значении i $u_\alpha(i) < 0$, то формирование траектории следует прекратить, так как это означает, что траектория перестала быть эллиптической.

Задача 5.2 решается аналогично, но вместо $U_M(i)$ следует выбирать $U_m(i)$. Тогда получим

$$u_\alpha(i) - u_\alpha(i-1) = \frac{2\mu}{c_0^2 U_m(i)} - \frac{2\mu}{c_0^2 U_i} = \frac{2\mu[U_i - U_m(i)]}{c_0^2 U_m(i) U_i} \geq 0. \quad (5.6)$$

Здесь может оказаться, что $u_\alpha(i) > u_\pi(i)$. Если такое произошло, то процедуру оптимизации следует остановить или продолжить, поменяв смысл обозначений апсид.

Рассмотрим этап перелёта от апоцентра к перицентру. Зададим начальные значения

$$u_0 = u_\alpha(i), \quad u'_0 = \left. \frac{du}{d\tau} \right|_{\tau=0} = 0, \quad U = U_i, \quad i = 2k. \quad (5.7)$$

Ограничения на управление учитываются по-прежнему в виде (4.8). В данном случае могут быть сформулированы следующие задачи.

Задача 5.3. Обеспечить перелёт, при котором $u_\pi \rightarrow \max$, что будет означать минимизацию радиуса перицентра (раскрутка траектории, учитывается правая граница (4.6)).

Задача 5.4. Обеспечить перелёт, при котором $u_\pi \rightarrow \min$, что будет означать максимальное увеличение радиуса перицентра (сворачивание траектории, учитывается средняя часть (4.6)).

Рассмотрим решение задачи 5.3. В соответствии с (4.10) для неё следует принять $i = 2k$, $U(i) = U_m(i) = U(i-1) - P_i$, и уравнение траектории примет вид

$$u = \left[\frac{\mu}{c_m^2(i)} - u_\alpha(i) \right] \cos \varphi + \frac{\mu}{c_m^2(i)}, \quad e(i) = 1 - \frac{c_m^2(i)}{\mu} u_\alpha(i). \quad (5.8)$$

Здесь угол φ по-прежнему отсчитывается от направления на перицентр. Найдём значение $u = u_\pi(i)$:

$$u_\pi(i) = \frac{2\mu}{c_m^2(i)} - u_\alpha(i). \quad (5.9)$$

Из формулы (5.4) получим

$$u_\alpha(i) = \frac{2\mu}{c_M^2(i-1)} - u_\pi(i-1).$$

Поэтому

$$u_\pi(i) - u_\pi(i-1) = \frac{2\mu c_0^2 [U_i - U_m(i)]}{c^2(i) c_m^2(i)} \geq 0,$$

т.е. радиус перицентра действительно убывает. Если он оказался меньше предельно допустимого ($u_\alpha(i) > u_p$), то тогда следует положить $u_\pi(i) = u_p$ и найти соответствующую константу площадей с помощью равенства

$$c = \sqrt{\frac{2\mu}{u_p + u_\alpha(i)}}, \quad (5.10)$$

а $U = c^2/c_0^2$ принять в качестве решения задачи 5.3.

Пусть теперь требуется решить задачу 5.4. В соответствии с (4.10) для неё следует принять $i = 2k$, $U(i) = U_M(i) = U_i + P_i$, и уравнение траектории примет вид

$$u = \left[\frac{\mu}{c_M^2(i)} - u_\alpha(i) \right] \cos \varphi + \frac{\mu}{c_M^2(i)}, \quad e(i) = 1 - \frac{c_M^2(i)}{\mu} u_\alpha(i). \quad (5.11)$$

Поэтому

$$u_\pi(i) = \frac{2\mu}{c_M^2(i)} - u_\alpha(i) \quad (5.12)$$

и

$$u_\pi(i) - u_\pi(i-1) = \frac{2\mu c_0^2 [U_i - U_M(i)]}{c^2(i) c_M^2(i)} = -\frac{2\mu c_0^2 P_i}{c^2(i) c_M^2(i)} < 0,$$

т.е. радиус перицентра возрастает. Однако, может случиться, что на i -м шаге окажется $u_\pi(i) < u_\alpha(i)$. Тогда следует взять

$$U(i) = \frac{\mu}{c_0^2 u_\alpha(i)},$$

при котором будет выполнено $u_\pi(i) = u_\alpha(i)$. По прибытии аппарата в перицентр процедуру модификации орбиты можно будет продолжить в нужном направлении.

Полученный вариант управления предполагает скачкообразное изменение константы площадей в моменты прохождения перицентра либо апоцентра орбиты КА, сохраняя их положение в пространстве. Поэтому направление линии апсид в результате такого управления остается неизменным.

Если мощность двигательной установки недостаточна, чтобы решить задачу формирования орбиты за один раз, то, выбирая в различных комбинациях решение задач 1,2,3 и 4, можно постепенно добиться требуемого улучшения траектории по сравнению с исходной.

6. Учёт специфики двигателей

Процедура метода качелей, применённая в предыдущем разделе, позволяет сравнительно просто получить рецепт решения задачи оптимального

управления в классе кусочно-постоянных функций, содержащих скачки. Однако возможность реализации такого управления зависит от типа двигателя. Вместе с тем участки постоянных значений управления $U(\tau)$ могут служить ориентиром для оптимизации реальной управляющей функции. Из первого уравнения системы (4.1) получим

$$\frac{c_i(\tau)}{c_0} = \int_{\tau_{0i}}^{\tau} \frac{w}{c_0^2 u^3} d\tau + \frac{c_i}{c_0}. \quad (6.1)$$

6.1. Управляющее ускорение имеет импульсный характер.

Обозначим, как и прежде,

$$I_j = \lim_{\Delta t \rightarrow 0} \int_{t_j}^{t_j + \Delta t} w(t, \Delta t) dt$$

величину импульса, приложенного к КА в некоторый момент времени t_j . Тогда с учетом того, что $d\tau = c_0 u^2 dt$, будем иметь

$$\frac{c_i(\tau)}{c_0} = \Delta_j \sigma(\tau - \tau_j) + \frac{c_i}{c_0}, \quad \sigma = \begin{cases} 1, & \tau \geq \tau_j, \\ 0, & \tau < \tau_j, \end{cases} \quad \Delta_j = \frac{I_j}{c_0 u(\tau_j)}, \quad (6.2)$$

где τ_j – значение переменной τ , соответствующее моменту времени t_j . Такое управление реализуется в классе кусочно-постоянных функций и по смыслу наиболее близко к управлению, полученному в предыдущем разделе.

Пусть импульс одиночный. В связи со сказанным в предыдущем разделе, если движение начинается от апоцентра к перицентру, выполнение импульса в начале перехода не вызывает сомнения в его оптимальности, так как на этом участке траектории координата u монотонно возрастает. Однако, при переходе от перицентра к апоцентру координата u монотонно убывает. Поэтому оптимальность приложения импульса в начале такого участка может вызывать сомнение. Рассмотрим этот вариант подробнее. Пусть импульс выполняется в некоторый момент τ_1 после прохождения через перицентр. Тогда получим

$$u = \begin{cases} \left(u_\pi - \frac{\mu}{c^2}\right) \cos\left(\frac{c}{c_0}\tau\right) + \frac{\mu}{c^2}, & 0 \leq \tau < \tau_1, \\ A(\tau_1, c_1) \cos\left[\frac{c_1}{c_0}(\tau - \tau_1)\right] + B(\tau_1, c_1) \sin\left[\frac{c_1}{c_0}(\tau - \tau_1)\right] + \frac{\mu}{c_1^2}, & \tau \geq \tau_1, \end{cases} \quad (6.3)$$

где

$$\begin{aligned} \frac{c_1}{c_0} &= \frac{c}{c_0} + \Delta_1, \\ A(\tau_1, c_1) &= \left(u_\pi - \frac{\mu}{c^2}\right) \cos\left(\frac{c}{c_0}\tau_1\right) + \frac{\mu}{c^2} - \frac{\mu}{c_1^2} = u^-(\tau_1) - \frac{\mu}{c_1^2}, \\ B(\tau_1, c_1) &= -\frac{c}{c_1} \left(u_\pi - \frac{\mu}{c^2}\right) \sin\left(\frac{c}{c_0}\tau_1\right) = \frac{c_0}{c_1} \frac{du^-}{d\tau}(\tau_1). \end{aligned} \quad (6.4)$$

При этом

$$u_\alpha(\tau_1, c_1) = \frac{\mu}{c_1^2} - \sqrt{A^2(\tau_1, c_1) + B^2(\tau_1, c_1)}. \quad (6.5)$$

Заметим, что

$$\begin{aligned} A(0, c_1) &= \left(u_\pi - \frac{\mu}{c_1^2}\right), \quad B(0, c_1) = 0, \quad u_\alpha(0, c_1) = \frac{2\mu}{c_1^2} - u_\pi. \\ A\left(\frac{c_0}{c}\pi, c_1\right) &= \frac{2\mu}{c^2} - u_\pi - \frac{\mu}{c_1^2}, \quad B\left(\frac{c_0}{c}\pi, c_1\right) = 0, \quad u_\alpha\left(\frac{c_0}{c}\pi, c_1\right) = \frac{2\mu}{c^2} - u_\pi, \end{aligned}$$

то есть эффект от приложения импульса в промежутке между перицентром и апоцентром сначала может возрасти, но потом неизбежно ослабляется по мере приближения импульса к апоцентру. Очевидно, что

$$\begin{aligned} \frac{\partial u_\alpha}{\partial \tau_1} &= \left(\frac{c^2}{c_1^2} - 1\right) \frac{u^-(\tau_1)}{\sqrt{A^2(\tau_1, c_1) + B^2(\tau_1, c_1)}} \frac{du^-}{d\tau}(\tau_1), \\ \frac{\partial u_\alpha}{\partial c_1} &= -\frac{2u_\alpha}{c_1} - \frac{2u^-(\tau_1)A(\tau_1, c_1) + B^2(\tau_1, c_1)}{c_1 \sqrt{A^2(\tau_1, c_1) + B^2(\tau_1, c_1)}}. \end{aligned}$$

Далее

$$\frac{du_\alpha}{d\tau_1} = \frac{\partial u_\alpha}{\partial \tau_1} + \frac{\partial u_\alpha}{\partial c_1} \frac{dc_1}{d\tau_1} = \frac{\partial u_\alpha}{\partial \tau_1} - \left(\frac{c_1 - c}{u}\right) \frac{\partial u_\alpha}{\partial c_1} \frac{du^-}{d\tau_1}.$$

При $u^-(\tau_1) \approx u_\pi$ будем иметь $A(\tau_1, c_1) > 0$, и слагаемые в последней формуле будут иметь разные знаки. Если существует значение τ_1 , для которого окажется $du_\alpha/d\tau_1 = 0$, то для определения эффективного управления исключительно радиусом апоцентра такое τ_1 следует рассматривать наряду с моментом прохождения через перицентр как кандидат для момента приложения импульса.

Вместе с тем, как видно из теоремы 2.4 и уравнения (2.10), приложение импульса, перпендикулярного радиусу КА, в точках орбиты, не лежащих на линии апсид, оставляет неизменным направление этой линии только при специальном подборе величины импульса. Наличие ограничения в виде требования сохранять направление линии апсид при манёврах может сделать не эффективным размещение точки приложения импульса вне линии апсид.

Отметим, что простое правило приложения импульса всегда в точках орбиты, расположенных на линии апсид, свободно от указанного недостатка и в любом случае будет вызывать нужное эволюционное изменение орбиты, а в ряде случаев будет глобально оптимальным.

6.2. Удельная тяга двигателя ограничена:

$$w_m \leq w(\tau) \leq w_M. \quad (6.6)$$

Из формулы (6.1) видно, что экстремальным значениям величины $U = U_{extr}$ (см. раздел 5) должны соответствовать такие же по смыслу экстремальные значения функции $w(\tau)$. При этом в задаче о формировании экстремальных значений перицентра или апоцентра без дополнительных условий переключение функции $w(\tau)$ с одного экстремального значения на другое должно происходить в моменты прохождения КА линии апсид в соответствии с переключениями ступенчатой функции $U(\tau)$.

При решении задачи о получении точных значений радиусов перицентра или апоцентра следует учесть, что чем меньше значение u , тем эффективность приложения тяги w больше. Поэтому в таком случае целесообразно применить кусочно-постоянные функции управления вида

$$w_{2k} = \begin{cases} w_{extr}, & \tau \geq \tau_1, \\ 0, & \tau_{0i} \leq \tau < \tau_1, \end{cases} \quad w_{2k+1} = \begin{cases} w_{extr}, & \tau_{0i} \leq \tau \leq \tau_1, \\ 0, & \tau > \tau_1, \end{cases} \quad (6.7)$$

где w_{extr} — предельные значения управления w , τ_1 — искомый параметр. Другими словами, если движение происходит в направлении от перицентра к апоцентру, то нулевое управление следует применять в начале траектории, а если движение происходит от апоцентра к перицентру, то нулевое управление следует применять на конечном участке траектории.

В остальных случаях необходимо получить соответствующий экстремум функционала $U_i(\tau)$ по w для любого значения τ во всем интервале управления. В частности, если требуется обеспечить

$$\frac{c_i(\tau)}{c_0} - \frac{c_i}{c_0} = \int_{\tau_{0i}}^{\tau} \frac{w}{c_0^2 u^3} d\tau = \max_w, \quad \forall \tau, \quad (6.8)$$

то должно быть $w \equiv w_M$ на всем полуинтервале управления, поскольку всегда $u > 0$.

В том случае, когда

$$\frac{c_i(\tau)}{c_0} - \frac{c_i}{c_0} = \int_{\tau_{0i}}^{\tau} \frac{w}{c_0^2 u^3} d\tau = \min_w, \quad \forall \tau, \quad (6.9)$$

следует учитывать ограничение $U_i + U_i(\tau) \geq U_{inf}$. Поэтому

$$w = \begin{cases} w_m, & \int_{\tau_{0i}}^{\tau} \frac{w_m}{c_0^2 u^3} d\tau > \frac{c_{inf}}{c_0} - \frac{c_i}{c_0}, \\ 0, & \int_{\tau_{0i}}^{\tau} \frac{w_m}{c_0^2 u^3} d\tau \leq \frac{c_{inf}}{c_0} - \frac{c_i}{c_0}. \end{cases} \quad (6.10)$$

В случае ограниченной удельной тяги аналитические формулы, приведённые в разделе 5 для оценки радиусов апоцентра и перицентра, уже не будут справедливы, но полученное для данного случая управление будет лучшим из того, что двигатель может сделать в требуемом направлении тяги для решения поставленной задачи.

Дополнительные ограничения могут внести определённую специфику в стратегию выбора функции $w(\tau)$. Пусть, например, дополнительное ограничение связано с требованием обеспечить неподвижность в пространстве линии апсид. Четвертое уравнение системы (4.1) свидетельствует о том, что при сохранении знака функции $w(\tau)$ в окрестности точки пересечения космическим аппаратом линии апсид угловая скорость этой линии меняет знак вместе с $du/d\tau$. Тогда соответствующее включение управления w следует производить не в момент пересечения аппаратом линии апсид, а несколько раньше, в момент τ_1 , для которого

$$0 < \left| \frac{\mathbf{r}(\tau_1) \cdot \mathbf{v}(\tau_1)}{r(\tau_1)v(\tau_1)} \right| \ll 1,$$

когда аппарат, находясь вблизи точки пересечения траектории с линией апсид, ещё не долетел до неё. После включения управления линия апсид начнет поворачиваться в соответствующую выбранному управлению сторону, а после пересечения линии апсид поворот будет происходить в обратном направлении. Выключение управления следует выполнить в момент $\tau_2(\tau_1)$, когда линия апсид вернется в исходное перед маневром положение после пересечения аппаратом линии апсид. На участках траектории, не попадающих в окрестность указанных зон включённого управления, должно быть выполнено $w = 0$. Получается аналог импульсного управления, когда импульс как бы «размазан» на интервале $[\tau_1, \tau_2]$. Заметим, что выбор момента τ_1 определяется тем, что управление не должно оказывать заметного воздействия на радиус точки пересечения с линией апсид, в окрестности которой включается управление. Его действие предназначено для противоположной точки пересечения траектории с линией апсид. Обеспечение точного значения перицентра

или апоцентра достигается за счёт приближения к линии апсид или удаления от неё точки включения управляющего момента.

7. Уравнения движения КА с солнечным парусом

В качестве примера применения предложенного метода трансформации траектории рассмотрим движение КА с солнечным парусом в центральном поле тяготения Солнца. Сила светового давления на солнечный парус имеет вид [13]

$$\mathbf{w} = \sigma \frac{|\boldsymbol{\nu} \cdot \mathbf{r}|(\boldsymbol{\nu} \cdot \mathbf{r})}{r^4} \boldsymbol{\nu}, \quad (7.1)$$

где \mathbf{r} – радиус-вектор материальной точки с началом в Солнце, r – его модуль, $\sigma = \varkappa S/m$ – характеристика интенсивности светового потока и отражательной способности плоского зеркального паруса, S – площадь паруса, m – масса КА, $\varkappa \approx 9.28 \cdot 10^{-6} \text{Н/м}^2$, $\boldsymbol{\nu}$ – нормаль к плоскости солнечного паруса [14]. Здесь не имеет значения направление нормали $\boldsymbol{\nu}$, поскольку правая часть (7.1) не меняется при замене $\boldsymbol{\nu} \rightarrow -\boldsymbol{\nu}$. В дальнейшем предполагается, что $\sigma < \mu$.

Видим, что в рассматриваемом случае

$$w = \sigma \frac{|\boldsymbol{\nu} \cdot \mathbf{r}|(\boldsymbol{\nu} \cdot \mathbf{r})}{r^4}$$

зависит от $\boldsymbol{\nu}$, и управление движением возможно только посредством изменения направления вектора $\boldsymbol{\nu}$.

Пусть вектор $\boldsymbol{\nu}$ компланарен плоскости орбиты, и угол θ , как и прежде, отсчитывается от вектора \mathbf{r} к вектору $\boldsymbol{\nu}$ в кратчайшем направлении. Тогда система (3.6) примет вид

$$\left\{ \begin{array}{l} \frac{d}{d\tau} \left(\frac{c}{c_0} \right) = \frac{\alpha}{c_0^2 u}, \\ \frac{d^2 u}{d\tau^2} + \frac{c^2}{c_0^2} u = \frac{\mu - \beta}{c_0^2}, \\ \frac{d\varphi}{d\tau} = \frac{c}{c_0}, \\ \frac{d\psi}{d\tau} = -\frac{c}{|\mathcal{L}|^2 c_0 u^2} \left[\frac{c_0}{c u} \frac{du}{d\tau} (c^2 u + \mu) \alpha + (c^2 u - \mu) \beta \right], \\ \frac{d|\mathcal{L}|}{d\tau} = \frac{c}{u^2 |\mathcal{L}|} \left(c \alpha + \frac{c_0}{u} \frac{du}{d\tau} \beta \right) \frac{du}{d\tau}, \end{array} \right. \quad (7.2)$$

где

$$\alpha = \sigma |\cos \theta| \cos \theta \sin \theta, \quad \beta = \sigma |\cos \theta|^3, \quad w = \sigma |\cos \theta| \cos \theta. \quad (7.3)$$

8. Метод качелей для солнечного паруса

Примем, что нормаль к парусу мало отклоняется от направления радиус-вектора \mathbf{r} . Угол θ будем считать малой величиной и в правых частях уравнений (7.2) ограничимся членами первого порядка по углу θ :

$$\left\{ \begin{array}{l} \frac{d}{d\tau} \left(\frac{c}{c_0} \right) = \frac{\sigma\theta}{c_0^2 u}, \\ \frac{d^2 u}{d\tau^2} + \frac{c^2}{c_0^2} u = \frac{\mu - \sigma}{c_0^2}, \\ \frac{d\varphi}{d\tau} = \frac{c}{c_0}, \\ \frac{d\psi}{d\tau} = -\frac{c\sigma}{|\mathcal{L}|^2 c_0 u^2} \left[\frac{c_0}{cu} \frac{du}{d\tau} (c^2 u + \mu)\theta + (c^2 u - \mu) \right], \\ \frac{d|\mathcal{L}|}{d\tau} = \frac{c\sigma}{u^2 |\mathcal{L}|} \left(c + \frac{c_0}{u} \frac{du}{d\tau} \theta \right) \frac{du}{d\tau}. \end{array} \right. \quad (8.1)$$

В этих уравнениях непосредственному влиянию управления солнечным парусом подвержена секторная скорость аппарата, и уже через неё осуществляется управление радиальной составляющей движения. Первые три уравнения системы (8.1) аналогичны соответствующим уравнениям системы (4.1) с той лишь разницей, что в первые три уравнения системы (8.1) вместо гравитационной постоянной μ входит модифицированная постоянная $\mu_s = \mu - \sigma$. Поэтому здесь, чтобы получить модификацию траектории, можно воспользоваться формулами раздела 5 и применить метод 6.1 реализации управления, приняв

$$w = \sigma\theta u^2, \quad \mu_s = \mu - \sigma \rightarrow \mu. \quad (8.2)$$

Приведём окончательные формулы, описывающие итерационную процедуру метода качелей. Для решения задачи 5.1 следует применить формулы

$$u_\alpha(i) = \frac{2\mu_s}{c_M^2(i)} - u_\pi(i) = \frac{2\mu_s}{c_0^2 U_M(i)} - u_\pi(i), \quad U = U_M, \quad i = 2k + 1. \quad (8.3)$$

Решение задачи 5.2 даётся соотношениями

$$u_\alpha(i) = \frac{2\mu_s}{c_m^2(i)} - u_\pi(i) = \frac{2\mu_s}{c_0^2 U_m(i)} - u_\pi(i), \quad U = U_m. \quad (8.4)$$

Для решения задачи 5.3 используем формулы

$$u_\pi(i) = \frac{2\mu_s}{c_m^2(i)} - u_\alpha(i), \quad U = U_m, \quad i = 2k. \quad (8.5)$$

Для решения задачи 5.4 применяем формулы

$$u_\pi(i) = \frac{2\mu_s}{c_M^2(i)} - u_\alpha(i), \quad U = U_M, \quad i = 2k. \quad (8.6)$$

Далее для конкретизации управления формой траектории следует применить методику раздела 6.2. Вместе с тем четвёртое уравнение системы (8.1) показывает, что вращения линии апсид описанным в разделе 6.2 простым способом избежать не удастся.

9. Логарифмическая спираль в поле тяготения Солнца

Рассмотрим задачи раскручивания траектории или её сворачивания с помощью управления ориентацией солнечного паруса. Задача раскручивания траектории сводится к последовательному решению оптимальных задач 5.1 и 5.4, и, как следует из формул (8.3) и (8.6), для её решения требуется выдерживать постоянное максимальное значение угла θ . Задача сворачивания траектории сводится к последовательному решению задач 5.2 и 5.3, и, как следует из формул (8.4) и (8.5), для её решения необходимо выдерживать постоянное минимальное значение угла θ . Получающаяся траектория в силу системы уравнений (7.2) будет зависеть от начальных условий. Обозначим

$$\Lambda(\theta) = \frac{\sigma |\cos \theta|^3 - \mu}{\sigma |\cos \theta| \cos \theta \sin \theta}. \quad (9.1)$$

Лемма 9.1. *Если $\Lambda(\theta)$ постоянно и удовлетворяет условию*

$$\Lambda(\theta) \geq 3 \cup \Lambda(\theta) \leq -5, \quad (9.2)$$

причём $\Lambda(\theta) \sin \theta < 0$, то найдутся начальные условия и постоянный параметр λ , для которых логарифмическая спираль $u = u_0 e^{\lambda\varphi}$ будет траекторией системы уравнений (7.2).

Доказательство. Из постоянства $\Lambda(\theta)$ следует постоянство угла θ . Предположим, что λ и угол θ остаются во время движения постоянными, а начальный момент соответствует $\varphi = \tau = 0$ [14]. Тогда $d\varphi/d\tau = c/c_0$ и

$$\frac{dc}{d\varphi} = \frac{\alpha}{cu_0} e^{-\lambda\varphi} \rightarrow \frac{c^2}{2} - \frac{c_0^2}{2} = \frac{\alpha}{\lambda u_0} (1 - e^{-\lambda\varphi}) \rightarrow \frac{c^2}{c_0^2} = \frac{2\alpha}{\lambda u_0 c_0^2} (1 - e^{-\lambda\varphi}) + 1. \quad (9.3)$$

Далее,

$$\frac{du}{d\tau} = \frac{du}{d\varphi} \frac{d\varphi}{d\tau} = \lambda u_0 e^{\lambda\varphi} \frac{c}{c_0}, \quad \frac{d^2 u}{d\tau^2} = \lambda^2 u_0 e^{\lambda\varphi} \frac{c^2}{c_0^2} + \frac{\alpha}{c_0^2}.$$

Второе уравнение (7.2) после подстановки полученных выражений и преобразований принимает вид

$$(\lambda^2 + 1) \left(\frac{2\alpha}{\lambda u_0 c_0^2} + 1 \right) u - (\lambda^2 + 1) \frac{2\alpha}{\lambda c_0^2} + \frac{\alpha}{c_0^2} = \frac{\mu - \beta}{c_0^2}.$$

Это уравнение должно тождественно выполняться. Поэтому коэффициент при u , а также и сумму остальных членов следует по отдельности приравнять нулю:

$$\lambda = -\frac{2\alpha}{u_0 c_0^2}, \quad \beta - \left(2\lambda + \frac{2}{\lambda} - 1 \right) \alpha = \mu. \quad (9.4)$$

Условия (9.4) обеспечивают реализуемость спиральной траектории. Процедура вычисления траекторных параметров состоит в следующем. Сначала в диапазоне $-\pi/2 < \theta < \pi/2$ с учётом условия (9.2) выбирается некоторое значение угла θ , причём если требуется получить значение $\lambda > 0$, то выбирается θ такое, чтобы $\sin \theta < 0$, и наоборот, если требуется получить значение $\lambda < 0$, то выбирается θ такое, чтобы $\sin \theta > 0$. Далее из второго равенства (9.4) находим

$$\Lambda(\theta) = 2\lambda + \frac{2}{\lambda} - 1, \quad (9.5)$$

откуда видно, что подходящее значение λ существует, если выполнено условие (9.2). Тогда

$$\lambda(\theta) = \frac{1 + \Lambda \pm \sqrt{(1 + \Lambda)^2 - 16}}{2}, \quad (9.6)$$

при этом знаки $\Lambda(\theta)$ и $\lambda(\theta)$ совпадают. Как видно из формулы (9.1), если $\sigma < \mu$, то знаки Λ и $\sin \theta$ всегда будут разные, а если $\sigma \geq \mu$, то знаки Λ и $\sin \theta$ будут разными лишь, когда $|\cos \theta| \leq (\mu/\sigma)^{-3}$. При выполнении условия $\Lambda(\theta) \sin \theta < 0$ по первой формуле (9.4) нетрудно подобрать подходящие значения u_0 и c_0 . \diamond

Теорема 9.1. Пусть $\sigma < \mu$ и $\theta_m \leq \theta \leq \theta_M$, причём $\theta_M > 0$, $\theta_m < 0$. Тогда если $\Lambda(\theta_M) < -5$, то логарифмическая спираль вида $u = u_0 e^{\lambda(\theta_M)\varphi}$ задаёт оптимальную траекторию разгона КА с начальными условиями $u_0 c_0^2 = -2\alpha(\theta_M)/\lambda(\theta_M)$, а если $\Lambda(\theta_m) > 3$, то логарифмическая спираль вида $u = u_0 e^{\lambda(\theta_m)\varphi}$ определяет оптимальную сворачивающуюся траекторию с начальными условиями $u_0 c_0^2 = -2\alpha(\theta_m)/\lambda(\theta_m)$.

Доказательство. Из решения задач 5.1 и 5.4 видно, что для быстрого разгона КА необходимо выбирать $\theta = \theta_M$. Условия доказываемой теоремы говорят о том, что равенства (9.4), (9.6), обеспечивающие решение уравнений движения в виде логарифмической спирали, будут выполнены. Аналогично

из решения задач 5.2 и 5.3 следует, что для быстрейшего сворачивания траектории необходимо выбирать $\theta = \theta_m$, а при выполнении условий теоремы оптимальной траекторией будет соответствующая логарифмическая спираль. \diamond

Рассмотрим, как меняются характеристики оскулирующей орбиты вдоль логарифмической спирали.

Из последнего соотношения (9.3) видно, что

$$\lim_{\varphi \rightarrow \infty} c^2 = \begin{cases} \frac{2\alpha}{\lambda u_0} + c_0^2, & \lambda > 0, \\ -\frac{2\alpha}{\lambda u_0 c_0^2} e^{-\lambda\varphi}, & \lambda < 0, \end{cases}$$

т.е. в случае раскрутки траектории ($\lambda < 0$) секторная скорость экспоненциально возрастает, а если траектория сворачивается ($\lambda > 0$), то секторная скорость стремится к конечному пределу.

Пятое уравнение системы (7.2) приводится к виду

$$\frac{d\mathcal{L}^2}{d\varphi} = \frac{2c_0}{u_0}(\beta + \lambda\alpha) \left[\left(\frac{2\alpha}{\lambda u_0} + 1 \right) e^{-\lambda\varphi} - \frac{2\alpha}{\lambda u_0} e^{-2\lambda\varphi} \right],$$

откуда

$$\mathcal{L}^2 - \mathcal{L}_0^2 = \frac{2c_0}{u_0}(\beta + \lambda\alpha) \left[\left(\frac{2\alpha}{\lambda^2 u_0} + \frac{1}{\lambda} \right) (1 - e^{-\lambda\varphi}) - \frac{\alpha}{\lambda^2 u_0} (1 - e^{-2\lambda\varphi}) \right],$$

поэтому

$$\lim_{\varphi \rightarrow \infty} \mathcal{L}^2 = \begin{cases} \frac{2c_0}{u_0 \lambda} (\beta + \lambda\alpha) \left(\frac{\alpha}{\lambda u_0} + 1 \right) + \mathcal{L}_0^2, & \lambda > 0, \\ \frac{2c_0 \alpha}{\lambda^2 u_0^2} (\beta + \lambda\alpha), & \lambda < 0. \end{cases}$$

Другими словами, когда спираль раскручивается ($\lambda < 0$), квадрат длины вектора Лапласа возрастает обратно пропорционально квадрату величины u , а если траектория сворачивается ($\lambda > 0$), то длина вектора Лапласа стремится к конечному пределу.

При этом, как показывает четвёртое уравнение (7.2), линия апсид оскулирующей траектории будет монотонно вращаться в направлении, соответствующем выбранному значению угла θ . При этом

$$\frac{d\psi}{d\varphi} = -\frac{1}{\mathcal{L}^2 u^2} [\lambda(c^2 u + \mu)\alpha + (c^2 u - \mu)\beta].$$

Отсюда получаем, что

$$\lim_{\varphi \rightarrow \infty} \frac{d\psi}{d\varphi} = \begin{cases} 0, & \lambda > 0, \\ -\frac{\lambda^2}{2c_0 \alpha} \left[\frac{2\alpha}{\lambda c_0^2} + \mu \frac{\lambda\alpha - \beta}{\lambda\alpha + \beta} \right], & \lambda < 0. \end{cases}$$

Таким образом, для $\lambda < 0$ зависимость $\psi(\varphi)$ приближается к линейной с ростом φ .

На рис. 1 показано фото галактики Messier51 [16], сделанное телескопом Хаббл в 2008 г. Видны «рукава», напоминающие логарифмическую спираль и состоящие из разлетающихся звезд, предположительно, под действием светового давления. Это подтверждается некоторым искривлением правого рукава от вероятного светового давления со стороны соседней галактики. На рис. 2 для сравнения показана логарифмическая спираль.



Рис. 1. Галактика «Messier51»

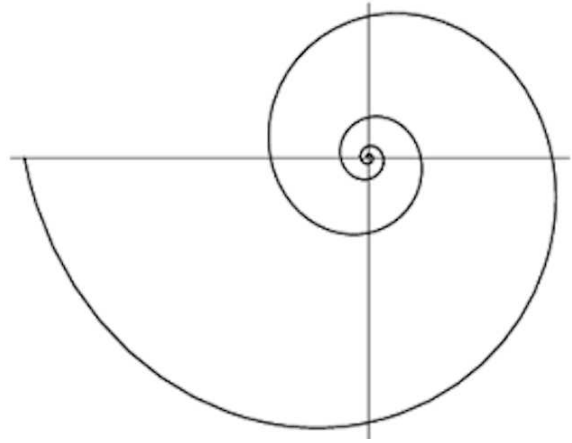


Рис. 2. Логарифмическая спираль

10. Влияние возмущений

Уравнение управляемого движения КА в центральном поле с учётом действия возмущений имеют вид

$$\frac{d^2 \mathbf{r}}{dt^2} = \ddot{\mathbf{r}} = -\frac{\mu \mathbf{r}}{r^3} + w \boldsymbol{\nu} + \mathbf{G}(\mathbf{r}) + \mathbf{F}(\mathbf{r}, \mathbf{v}), \quad (10.1)$$

где $\mathbf{G}(\mathbf{r})$ — позиционные возмущающие силы, а $\mathbf{F}(\mathbf{r}, \mathbf{v})$ — диссипативные силы, например, сила сопротивления атмосферы, зависящая от скорости \mathbf{v} спутника.

Будем считать, что орбита КА расположена достаточно глубоко в сфере действия планеты [11], но всё же вне плотной атмосферы, так что

$$\|\mathbf{G}(\mathbf{r}) + \mathbf{F}(\mathbf{r}, \mathbf{v})\| \ll \frac{\mu}{r^2}.$$

Тогда возмущённое движение будет происходить в окрестности кеплеровой

орбиты, и аналог первых трёх уравнений (3.6) примет вид

$$\begin{cases} \frac{d}{d\tau} \left(\frac{c}{c_0} \right) = \frac{w \sin \theta}{c_0^2 u^3} + \frac{1}{c_0^2 u^2} \mathbf{e}_c \cdot \{ \mathbf{r} \times [\mathbf{G}(\mathbf{r}) + \mathbf{F}(\mathbf{r}, \mathbf{v})] \}, \\ \frac{d^2 u}{d\tau^2} + \frac{c^2}{c_0^2} u = \frac{\mu}{c_0^2} - \frac{w}{c_0^2 u^2} \cos \theta - \frac{1}{c_0^2 u} \mathbf{r} \cdot [\mathbf{G}(\mathbf{r}) + \mathbf{F}(\mathbf{r}, \mathbf{v})], \\ \frac{d\varphi}{d\tau} = \frac{c}{c_0}, \end{cases} \quad (10.2)$$

где \mathbf{e}_c — единичный вектор направления вектора \mathbf{c} , которое при действии возмущений может изменяться в абсолютном пространстве.

В работе [8] доказано, что наличие диссипации не влияет на стратегию управления при использовании метода качелей, а влияет лишь на процесс протекания движения во времени. Вместе с тем позиционные силы во втором уравнении системы (10.2) не зависят явно от управления U . Следовательно, все выводы относительно структуры управления с целью управления радиусами апоцентра и перигея, полученные выше для кеплеровского движения, остаются справедливыми и для возмущенного движения. Что касается компенсации влияния возмущений на направление линии апсид в плоскости орбиты, то с этой целью возможно периодическое применение радиальных импульсов (см. лемму 2.1) в районе перигея или апоцентра, где радиальная составляющая скорости невелика. Для коррекции плоскости орбиты можно воспользоваться теоремой 2.3, выбрав для импульса наиболее удобное положение радиус-вектора КА на орбите.

Заключение

В данной работе исследовано влияние управления на векторные характеристики оскулирующей кеплеровской орбиты спутника в центральном поле тяготения. Найдены необходимые и достаточные условия на управление, обеспечивающие постоянство направления вектора Лапласа или его требуемый поворот в инерциальном пространстве. Предложен метод трансформации уже существующей орбиты КА к орбите с требуемыми значениями перигея и апоцентра. Для двигателей с раздельным управлением величиной удельной тяги и её направлением предусмотрена возможность сохранить сформированное заранее направление вектора Лапласа. Метод основан на принципе оптимальной подкачки энергии в колебательную механическую систему с дефицитом управления по одной степени свободы. Представленные в работе стратегии управления двигателями с непрерывной и импульсной

удельной тягой, а также солнечным парусом свидетельствуют о принципиальной применимости метода как для околопланетного маневрирования, так и для полетов в дальний космос. При этом могут применяться двигатели как большой, так и малой тяги. Если тяга двигателя достаточна, то формирование орбиты может быть закончено за один оборот КА на орбите, а если тяга мала, то для формирования орбиты может потребоваться несколько оборотов. Наличие возмущений не меняет стратегию управления. Предложенный метод прост в применении. На заключительном этапе прецизионного формирования заданной орбиты при действии возмущений может быть применён метод прямой пристрелки, как, например, в работе [6].

Следует отметить, что при движении в центральном поле тяготения без возмущений предложенный в работе метод будет сохранять свою эффективность даже при сколь угодно малых, но не нулевых значениях тяги двигателя. В то же время при наличии возмущений успех при использовании метода качелей, равно как и при применении других методов управления, возможен лишь тогда, когда величина тяги двигателя превосходит возмущающие силы.

Список литературы

1. *Маров М.Я., Хантресс У.Т.* Советские роботы в Солнечной системе. Технологии и открытия. — 2-е изд., испр. и доп. — М.: ФИЗМАТЛИТ, 2017. — 612 с. — ISBN 978-5-9221-1741-8.
2. *Охоцимский Д.Е., Сихарулидзе Ю.Г.* Основы механики космического полёта: Учеб. пособие. — М.: Наука. Гл. ред. физ.-мат. лит., 1990. — 448 с. — ISBN 5-02-014090-2
3. *Labunsky A.V., Parkov O.V., Sukhanov K.G.* Multiple Gravity Assist Interplanetary Trajectories // Earth Space Institute Book Series, Gordon and Breach Publishers, London, 1998. 283 с.
4. *Егоров В.А.* О некоторых задачах полета к Луне // УФН, 1957, LXIII, с. 73-117.
5. *Голубев Ю.Ф., Грушевский А.В., Корянов В.В., Тучин А.Г., Тучин Д.А.* Универсальное свойство интеграла Якоби для гравитационных маневров в солнечной системе // Космические исследования, 2020, том 58, № 4, с. 312-320. DOI: 10.31857/S0023420620040068
6. *Голубев Ю.Ф., Грушевский А.В., Корянов В.В., Тучин А.Г., Тучин Д.А.* Обобщение формулы Резерфорда и синтез траекторий с гравитационными

ми маневрами // Известия РАН. Теория и системы управления, ISSN: 0002-3388, 2023, № 3, с. 120-132. DOI: 10.31857/S0002338823030058

7. *Охоцимский Д.Е.* Исследование движения в центральном поле сил под действием постоянного касательного ускорения // Космич. исслед., 1964, т. 2, № 6, с. 817-842.
8. *Голубев Ю.Ф.* Оптимизация колебаний механических систем с трением // Доклады российской академии наук. Математика, информатика, процессы управления, ISSN (PRINT): 2686-9543, 2023, том 512, с. 18-26. DOI: 10.31857/S2686954323600052
9. *Голубев Ю.Ф.* Управление амплитудой колебаний механических систем // Теория и системы управления, 2022, № 4, стр. 22-30.
10. *Мещерский И.В.* Работы по механике тел переменной массы. — М.: Гос. изд-во техн.-теоретической литературы, 1952. 280 с.
11. *Абалакин В.К., Аксёнов Е.П., Гребеников Е.А., Дёмин В.Г., Рябов Ю.А.* Справочное руководство по небесной механике и астродинамике. Издание 2-е, дополненное и переработанное. — М.: Наука, Гл. ред. физ.-мат. лит., 1976, 864 с.
12. *Nacozy P.* The Intermediate Anomaly // *Celest. Mech.* 1977. Vol. 16, No 3. P. 309–313.
13. *Поляхова Е.Н.* Космический аппарат с солнечным парусом. — М.: Наука, 1986, 304 с.
14. *Сазонов В.В., Барбашова Т.Ф.* Лекции по механике космического полета. Специальный курс. — М.: Издательство Московского университета, 2018, 152 с.
15. [https://ru.wikipedia.org/wiki/Логарифмическая спираль](https://ru.wikipedia.org/wiki/Логарифмическая_спираль). (Последнее посещение 23.02.2025)
16. *NASA, ESA, S. Beckwith (STScI), and The Hubble Heritage Team STScI/AURA*). Commons: Featured picture candidates/Image:Messier51 sRGB.jpg (Последнее посещение 23.02.2025)